

# Оглавление

<b>Введение</b> . . . . .	<b>3</b>
<b>Глава 1. Общий подход к трехточечной аппроксимации, аппроксимация нормального распределения</b> . . . . .	<b>5</b>
<b>Глава 2. Аппроксимация логнормального распределения</b> . . . . .	<b>8</b>
2.1. Про логнормальное распределение . . . . .	8
2.1.1. Свойства логнормального распределения . . . . .	8
2.1.2. Связь параметров с квантилями . . . . .	8
2.2. Варианты постановки задачи . . . . .	10
2.3. Способ нахождения весов для $x_\pi$ , $x_{0.5}$ , $x_{1-\pi}$ через математическое ожидание и дисперсию нормального распределения и непосредственная аппроксимация логнормального распределения . . . . .	11
2.4. Условие на параметр $\sigma$ для существования трехточечной аппроксимации логнормального распределения . . . . .	13
2.5. Трехточечная несимметричная аппроксимация логнормального распределения . . . . .	17
2.6. Точность неправильной аппроксимации на основе дискретной аппроксимации нормального распределения . . . . .	17
<b>Глава 3. Произведение двух логнормальных распределений</b> . . . . .	<b>21</b>
3.1. Произведение квантилей . . . . .	21
3.2. $q$ -Квантили произведения логнормальных случайных величин для $q = \pi$ , $q = 0.5$ , $q = 1 - \pi$ . . . . .	23
<b>Глава 4. Сумма двух логнормальных случайных величин</b> . . . . .	<b>26</b>
4.1. Алгоритм аппроксимации . . . . .	26
4.2. Точность аппроксимации . . . . .	27
4.2.1. Ошибки аппроксимации квантилей . . . . .	27
4.2.2. Соответствие квантилей . . . . .	29
4.2.3. Оценки плотностей $\xi$ и $\eta$ . . . . .	30
4.2.4. Коэффициент асимметрии и эксцесса . . . . .	31

Заключение . . . . .	36
Список литературы . . . . .	37

## Введение

В практических задачах нередко требуется заменить непрерывное распределение на дискретное с сохранением математического ожидания и дисперсии. Одним из методов нахождения такого распределения для аппроксимации нормального распределения является метод Свонсона [1]. Однако в ряде областей, например, в нефтяной промышленности распределением, описывающим запасы нефти, общепринятым является логнормальное распределение. Аппроксимация по методу Свонсона для нормального распределения используется в этих областях, хотя распределение и логнормальное. Соответственно, реальной задачей является аппроксимация логнормального распределения.

С аппроксимируемыми случайными величинами производят сложение и умножение. Например, используем площадь дренирования пласта, среднюю чистую толщину и коэффициент извлечения углеводородов. При перемножении этих параметров получаем количество резервов нефти. Или, зная запасы нефти в разных скважинах, нужно оценить суммарные запасы. Соответственно, возникает задача находить аппроксимацию суммы и произведения по аппроксимациям исходных случайных величин.

Часто бывает на практике, что вместо настоящего распределения известны три его квантили, стандартно это 10-, 50- и 90-процентили. Задачей является нахождение по ним математического ожидания и дисперсии. Обычно задача решается построением весов для квантилей так, чтобы у полученного дискретного распределения были такие же математическое ожидание и дисперсия, как у исходного. Вообще говоря, иногда нужно, чтобы и более старшие моменты также аппроксимировались моментами построенного дискретного распределения с целью, чтобы для функций от распределений равенство математических ожиданий и дисперсий оставалось хотя бы приближенными.

В статье «Discretization, Simulation, and Swanson's (Inaccurate) Mean» [3] одна из частей исследования – сравнение различных методов дискретизации непрерывных распределений, например таких, как Extended Person-Tukey (EPT), McNamee-Celona Shortcut (MCS), Extended Swanson-Megill (ESM). Но нам это не подходит, потому что мы рассматриваем трехточечную симметричную аппроксимацию, а там рассмотрена не симметричная и без указания конкретных формул.

В статье «Discretization, Simulation, and the Value of Information» [4] замечено, что метод Свонсона значительно недооценивает среднее значение, дисперсию и асимметрию большинства распределений, особенно логнормального. Поэтому мы рассматриваем ап-

проксимацию конкретно для логнормального распределения.

Структура работы следующая. В главе 1 рассмотрен общий подход к трехточечной аппроксимации и трехточечная аппроксимация нормального распределения, метод Свонсона и вывод правила 30-40-30. В главе 2 рассматривается аппроксимация логнормального распределения, получено условие на параметр  $\sigma$  для существования трехточечной аппроксимации логнормального распределения и оценена точность неправильной аппроксимации на основе дискретной аппроксимации нормального распределения. В главе 3 получен алгоритм для аппроксимации произведения двух логнормальных распределений. В главе 4 получен алгоритм для аппроксимации суммы двух логнормальных распределений и рассмотрена точность аппроксимации.

## Глава 1

## Общий подход к трехточечной аппроксимации, аппроксимация нормального распределения

Пусть дана непрерывная случайная величина  $\xi$  с функцией распределения  $F(x)$ . Обозначим

$$m = \mathbf{E}(\xi), \quad s^2 = \mathbf{D}(\xi).$$

Для неё заданы квантили  $x_{\pi_1}$ ,  $x_{\pi_2}$ ,  $x_{\pi_3}$ . Также есть случайная дискретная величина  $\tilde{\xi}$ , которая задана следующим образом

$$\tilde{\xi} : \quad \begin{pmatrix} x_{\pi_1} & x_{\pi_2} & x_{\pi_3} \\ p_1 & p_2 & p_3 \end{pmatrix},$$

для неё обозначим

$$\tilde{m} = \mathbf{E}(\tilde{\xi}), \quad \tilde{s}^2 = \mathbf{D}(\tilde{\xi}).$$

Мы хотим аппроксимировать распределение случайной величины  $\xi$  дискретным распределением  $\tilde{\xi}$  с сохранением первых двух моментов. Для этого нужно найти  $p_1$ ,  $p_2$ ,  $p_3$  так, чтобы следующие равенства были верными.

$$\begin{cases} p_1 + p_2 + p_3 = 1, \\ \tilde{m} = p_1 x_{\pi_1} + p_2 x_{\pi_2} + p_3 x_{\pi_3} = m, \\ \tilde{s}^2 = p_1 x_{\pi_1}^2 + p_2 x_{\pi_2}^2 + p_3 x_{\pi_3}^2 - m^2 = s^2. \end{cases} \quad (1.1)$$

Запишем систему (1.1) в матричной форме следующим образом

$$\begin{pmatrix} 1 & 1 & 1 \\ x_{\pi_1} & x_{\pi_2} & x_{\pi_3} \\ x_{\pi_1}^2 & x_{\pi_2}^2 & x_{\pi_3}^2 \end{pmatrix} \begin{pmatrix} p_1 \\ p_2 \\ p_3 \end{pmatrix} = \begin{pmatrix} 1 \\ m \\ m^2 + s^2 \end{pmatrix}.$$

Теперь введём более изящную форму, которая подчёркивает связь вероятностей с формой распределения путём стандартизации.

**Предложение 1 (Swanson, 2000 год).** Пусть верно

$$\begin{pmatrix} 1 & 1 & 1 \\ \hat{x}_{\pi_1} & \hat{x}_{\pi_2} & \hat{x}_{\pi_3} \\ \hat{x}_{\pi_1}^2 & \hat{x}_{\pi_2}^2 & \hat{x}_{\pi_3}^2 \end{pmatrix} \begin{pmatrix} p_1 \\ p_2 \\ p_3 \end{pmatrix} = \begin{pmatrix} 1 \\ 0 \\ 1 \end{pmatrix}, \quad (1.2)$$

где  $\hat{x}_{\pi_i} = \hat{F}^{-1}(\pi_i)$ ,  $\hat{F}(y)$  — функция распределения  $\hat{\xi} = \frac{\xi - m}{s}$ . Тогда  $m = \tilde{m}$  и  $s^2 = \tilde{s}^2$ .

**Замечание 1.** Предложение 1 дает требуемую аппроксимацию дискретным распределением, если найденные вероятности  $p_i$  являются неотрицательными.

**Аппроксимация нормального распределения.** Если  $\xi \sim N(\mu, \sigma)$  имеет нормальное распределение, то  $\hat{\xi}$  имеет стандартное нормальное распределение, поэтому  $\hat{\xi} \sim N(0, 1)$  в Предложении 1.

**Предложение 2 (Swanson, 2000 год).** Пусть  $\xi \sim N(\mu, \sigma)$ ,  $\pi_1 = \pi$ ,  $\pi_2 = 0.5$ ,  $\pi_3 = 1 - \pi$  и пусть верно

$$\begin{cases} p_1 = \frac{\delta}{2}, \\ p_2 = 1 - \delta, \\ p_3 = \frac{\delta}{2}, \end{cases} \quad (1.3)$$

где  $\delta = \frac{1}{\Phi^{-1}(\pi)^2}$ . Тогда  $m = \tilde{m}$  и  $s^2 = \tilde{s}^2$ .

*Доказательство.* Обозначим  $\Phi(y) = \mathbf{P}\left(\eta = \frac{\xi - m}{s} \leq y\right)$  — функция распределения стандартного нормального распределения, тогда система (1.2) записывается как

$$\begin{pmatrix} 1 & 1 & 1 \\ \Phi^{-1}(\pi_1) & \Phi^{-1}(\pi_2) & \Phi^{-1}(\pi_3) \\ \Phi^{-1}(\pi_1)^2 & \Phi^{-1}(\pi_2)^2 & \Phi^{-1}(\pi_3)^2 \end{pmatrix} \begin{pmatrix} p_1 \\ p_2 \\ p_3 \end{pmatrix} = \begin{pmatrix} 1 \\ 0 \\ 1 \end{pmatrix}. \quad (1.4)$$

В частном случае симметричных квантилей вида  $\pi_1 = \pi$ ,  $\pi_2 = 0.5$ ,  $\pi_3 = 1 - \pi$  получаем  $\Phi^{-1}(\pi) = -\Phi^{-1}(1 - \pi)$ ,  $\Phi^{-1}(0.5) = 0$ , тогда система (1.4) упрощается до

$$\begin{pmatrix} 1 & 1 & 1 \\ \Phi^{-1}(\pi) & 0 & -\Phi^{-1}(\pi) \\ \Phi^{-1}(\pi)^2 & 0 & \Phi^{-1}(\pi)^2 \end{pmatrix} \begin{pmatrix} p_1 \\ p_2 \\ p_3 \end{pmatrix} = \begin{pmatrix} 1 \\ 0 \\ 1 \end{pmatrix}.$$

Запишем следующим образом

$$\begin{cases} p_1 + p_2 + p_3 = 1, \\ (p_1 - p_3)\Phi^{-1}(\pi) = 0, \\ (p_1 + p_3)\Phi^{-1}(\pi)^2 = 1. \end{cases} \quad (1.5)$$

Обозначим  $\delta = \frac{1}{\Phi^{-1}(\pi)^2}$ , тогда из системы (1.5) получим утверждение Предложения 2. □

Рассмотрим случай  $\pi = 0.1$ , имеем  $\Phi^{-1}(0.1) = -\Phi^{-1}(0.9) \approx -1.28$ ,  $\Phi^{-1}(0.5) = 0$ , из уравнений системы (1.3) находим значения  $p_1$ ,  $p_2$ ,  $p_3$ .

$$\begin{cases} p_1 \approx 0.305, \\ p_2 \approx 0.390, \\ p_3 \approx 0.305. \end{cases}$$

Эти вероятности примерно равны 0.3, 0.4, 0.3, поэтому это правило называют правилом 30-40-30 или **правилом Свонсона**.

## Глава 2

## Аппроксимация логнормального распределения

## 2.1. Про логнормальное распределение

## 2.1.1. Свойства логнормального распределения

Пусть случайная величина  $\eta$  имеет логнормальное распределение, тогда случайная величина  $\xi = \ln(\eta)$  имеет нормальное распределение,  $\xi \sim N(\mu, \sigma)$ . И поэтому для нее можно использовать формулы, полученные в предыдущих разделах.

Параметры  $m = \mathbf{E}(\eta)$ ,  $s^2 = \mathbf{D}(\eta)$  логнормального распределения можно найти через параметры  $\mu$  и  $\sigma^2$  соответствующего нормального распределения. Параметр  $m$  выражается как

$$m = \exp\left(\mu + \frac{\sigma^2}{2}\right). \quad (2.1)$$

Параметр  $s^2$  выражается как

$$s^2 = m^2(\exp(\sigma^2) - 1). \quad (2.2)$$

Заметим, что математическое ожидание логнормально распределенной случайной величины всегда положительное.

Коэффициент асимметрии можно найти [3] по следующей формуле

$$\gamma_3 = \sqrt{\exp(\sigma^2) - 1}(\exp(\sigma^2) + 2). \quad (2.3)$$

Коэффициент эксцесса находится [3] как

$$\gamma_4 = \exp(4\sigma^2) + 2\exp(3\sigma^2) + 3\exp(2\sigma^2) - 6. \quad (2.4)$$

Обратная функция распределения имеет вид

$$F_\eta^{-1}(p) = \exp(\mu + \sigma\sqrt{2}\operatorname{erf}^{-1}(2p - 1)). \quad (2.5)$$

## 2.1.2. Связь параметров с квантилями

**Предложение 3.** Параметр  $\sigma$  выражается через любые два квантиля как

$$\sigma = \frac{\log\left(\frac{x_{\pi_2}}{x_{\pi_1}}\right)}{\Phi^{-1}(\pi_2) - \Phi^{-1}(\pi_1)}, \quad \pi_1 \neq \pi_2. \quad (2.6)$$



*Доказательство.* Покажем, что дисперсию логнормального распределения можно вычислить из отношения двух квантилей. Распишем вероятность

$$\begin{aligned} \mathbb{P}(\xi \leq x_\pi) &= \pi, \\ \mathbb{P}\left(\frac{\log(\xi) - \mu}{\sigma} \leq \frac{\log(x_\pi) - \mu}{\sigma}\right) &= \pi. \end{aligned}$$

Следовательно,

$$\Phi\left(\frac{\log(x_\pi) - \mu}{\sigma}\right) = \pi,$$

и тогда

$$\log(x_\pi) = \mu + \sigma\Phi^{-1}(\pi).$$

С помощью двух квантилей мы можем исключить  $\mu$  из соответствующих уравнений.

Запишем

$$\log\left(\frac{x_{\pi_3}}{x_{\pi_1}}\right) = \sigma(\Phi^{-1}(\pi_3) - \Phi^{-1}(\pi_1)).$$

И в итоге получаем

$$\sigma = \frac{\log\left(\frac{x_{\pi_2}}{x_{\pi_1}}\right)}{\Phi^{-1}(\pi_2) - \Phi^{-1}(\pi_1)}.$$

□

Параметр  $\mu$  выражается как

$$\mu = \log(x_{\pi_i}) - \sigma\Phi^{-1}(\pi_i) \quad (2.7)$$

и результат не зависит от  $i$ .

**Предложение 4.** В терминах Предложения 1 функция  $\hat{\mathbb{F}}^{-1}(\pi)$  выражается через  $\sigma$  как

$$\hat{\mathbb{F}}^{-1}(\pi) = y = \frac{\exp\left(\sigma\Phi^{-1}(\pi) - \frac{\sigma^2}{2}\right) - 1}{\sqrt{\exp(\sigma^2) - 1}}. \quad (2.8)$$

*Доказательство.* Выразим  $\hat{\mathbb{F}}(y)$  через функцию стандартного нормального распределения

$$\hat{\mathbb{F}}(y) = \Phi\left(\frac{\log(m + sy) - \mu}{\sigma}\right),$$

так как  $\xi = \ln(\eta) \sim N(\mu, \sigma)$ . Выразим  $\log(m + sy)$  через  $\mu$  и  $\sigma$ , используя формулы (2.1) и (2.2). Получаем

$$m + sy = e^{\mu + \frac{\sigma^2}{2}} + ye^{\mu + \frac{\sigma^2}{2}} \sqrt{e^{\sigma^2} - 1} = e^{\mu + \frac{\sigma^2}{2}} (1 + y\sqrt{\exp(\sigma^2) - 1}),$$

возьмем натуральный логарифм от обеих частей, получаем

$$\begin{aligned}\log(m + sy) &= \log(e^{\mu + \frac{\sigma^2}{2}} (1 + y\sqrt{\exp(\sigma^2) - 1})) = \\ &= \mu + \frac{\sigma^2}{2} + \log(1 + y\sqrt{\exp(\sigma^2) - 1}),\end{aligned}$$

тогда

$$\frac{\log(m + sy) - \mu}{\sigma} = \frac{\sigma}{2} + \frac{\log(1 + y\sqrt{\exp(\sigma^2) - 1})}{\sigma}.$$

Теперь можно выразить  $\hat{F}(y)$  следующим образом

$$\hat{F}(y) = \Phi\left(\frac{\log(m + sy) - \mu}{\sigma}\right) = \Phi\left(\frac{\sigma}{2} + \frac{\log(1 + y\sqrt{\exp(\sigma^2) - 1})}{\sigma}\right).$$

Далее находим  $\Phi^{-1}(\pi)$ . Получаем

$$\Phi\left(\frac{\sigma}{2} + \frac{\log(1 + y\sqrt{\exp(\sigma^2) - 1})}{\sigma}\right) = \pi,$$

$$\Phi^{-1}(\pi) = \frac{\sigma}{2} + \frac{\log(1 + y\sqrt{\exp(\sigma^2) - 1})}{\sigma}.$$

Теперь можно выразить  $\log(1 + y\sqrt{\exp(\sigma^2) - 1})$  как

$$\log(1 + y\sqrt{\exp(\sigma^2) - 1}) = \sigma\Phi^{-1}(\pi) - \frac{\sigma^2}{2},$$

$$1 + y\sqrt{\exp(\sigma^2) - 1} = \exp\left(\sigma\Phi^{-1}(\pi) - \frac{\sigma^2}{2}\right).$$

В итоге получаем

$$\hat{F}^{-1}(\pi) = y = \frac{\exp(\sigma\Phi^{-1}(\pi) - \frac{\sigma^2}{2}) - 1}{\sqrt{\exp(\sigma^2) - 1}}.$$

□

## 2.2. Варианты постановки задачи

**Задача:** имеются квантили  $x_\pi$ ,  $x_{0.5}$ ,  $x_{1-\pi}$  логнормальной случайной величины  $\eta$ . Нужно уметь считать её математическое ожидание и дисперсию.

Варианты решения задачи:

1. Не переходить к аппроксимации дискретной случайной величиной, а сразу же из двух уравнений вида (2.7), записанных для двух квантилей, найти значения параметров  $\mu$  и  $\sigma$  нормальной случайной величины  $\ln(\eta) \sim N(\mu, \sigma)$ . Далее по формулам (2.1) и (2.2) вычислить значения мат. ожидания  $m$  и дисперсии  $s^2$  случайной величины  $\eta$ .

2. Перейти к трехточечной аппроксимации дискретной случайной величиной  $\tilde{\xi}$ , у которой  $\tilde{m} = m$ ,  $\tilde{s}^2 = s^2$  и считать значения  $m$  и  $s$  через квантили  $x_\pi$ ,  $x_{0.5}$ ,  $x_{1-\pi}$  и вероятности  $p_1$ ,  $p_2$ ,  $p_3$ . Если условие для положительных вероятностей не выполняется, можно воспринимать задачу не как поиск вероятностей для  $\tilde{\xi}$ , а как поиск весов для линейной комбинации  $x_\pi$ ,  $x_{0.5}$ ,  $x_{1-\pi}$  таких, чтобы параметры, полученные из системы (1.1), были равны математическому ожиданию и дисперсии  $\eta$ .

В реальных задачах в нефтяной промышленности используются следующие диапазоны параметров:

$$\mu \leq 12, \quad \sigma \leq 1.5.$$

Поэтому мы будем обращать на них особое внимание.

На рисунке 2.1 представлен график плотности логнормального распределения при  $\sigma = 1.5$ . Позже будет получено условие на  $\sigma$  для существования аппроксимации, поэтому также посмотрим на плотность при  $\sigma = 0.69$ , она представлена на рисунке 2.2.

### 2.3. Способ нахождения весов для $x_\pi$ , $x_{0.5}$ , $x_{1-\pi}$ через математическое ожидание и дисперсию нормального распределения и непосредственная аппроксимация логнормального распределения

Заметим, что если  $x_{\pi_1}, x_{\pi_2}, x_{\pi_3}$  — квантили логнормального распределения, то  $\ln(x_{\pi_1}), \ln(x_{\pi_2}), \ln(x_{\pi_3})$  — квантили нормального распределения соответствующие тем же вероятностям. Можно взять эти квантили и использовать в способе нахождения вероятностей для нормального распределения, пользуясь Предложением 2.

Имеем следующий алгоритм.

**Алгоритм 1. Дано:** квантили  $x_{\pi_1}, x_{\pi_2}, x_{\pi_3}$  логнормальной случайной величины  $\eta$ ,  $\ln(\eta) \sim N(\mu, \sigma)$ .

**Шаги:**

1. Выражаем параметры  $\mu$  и  $\sigma$  математическое ожидание и дисперсию соответствующего нормального распределения через известные  $x_{\pi_1}, x_{\pi_2}, x_{\pi_3}$  по формулам (2.6) и (2.7).

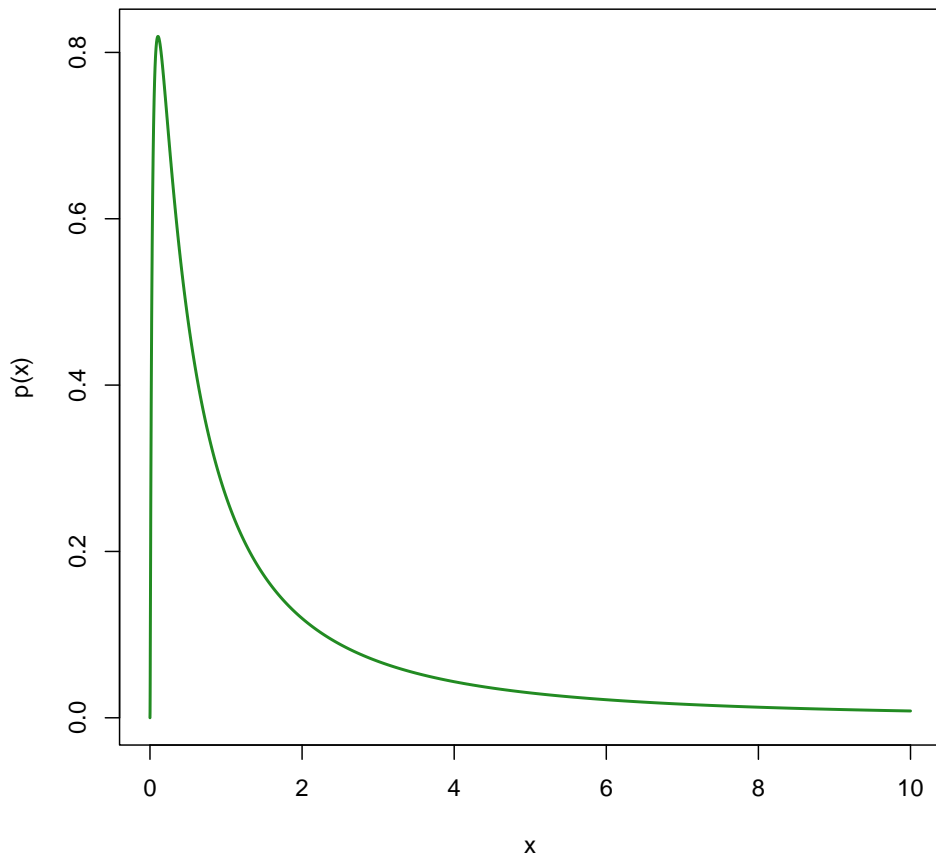


Рис. 2.1. Плотность логнормального с параметрами  $\mu = 0$ ,  $\sigma = 1.5$ .

2. Вычисляем значения математического ожидания  $m$  и дисперсии  $s^2$  случайной величины  $\eta$ , используя  $\mu$  и  $\sigma$  по формулам (2.1) и (2.2).
3. С помощью системы (1.1) находим значения весов  $p_1$ ,  $p_2$ ,  $p_3$ , используя вычисленные  $m$  и  $s^2$ .

**Результат:** веса  $p_1$ ,  $p_2$ ,  $p_3$  для  $x_{\pi_1}$ ,  $x_{\pi_2}$ ,  $x_{\pi_3}$  случайной величины  $\xi$ .

Есть другой способ нахождения этого результата. Можно не переходить к нормальному распределению, а сразу вычислять вероятности для квантилей логнормального распределения.

**Алгоритм 2. Дано:** квантили  $x_{\pi_1}$ ,  $x_{\pi_2}$ ,  $x_{\pi_3}$  логнормальной случайной величины  $\eta$ ,  $\ln(\eta) \sim N(\mu, \sigma)$ .

**Шаги:**

1. Выражаем параметр  $\sigma$  из отношения  $x_{\pi_3}$  к  $x_{\pi_1}$ , используя формулу (2.6).

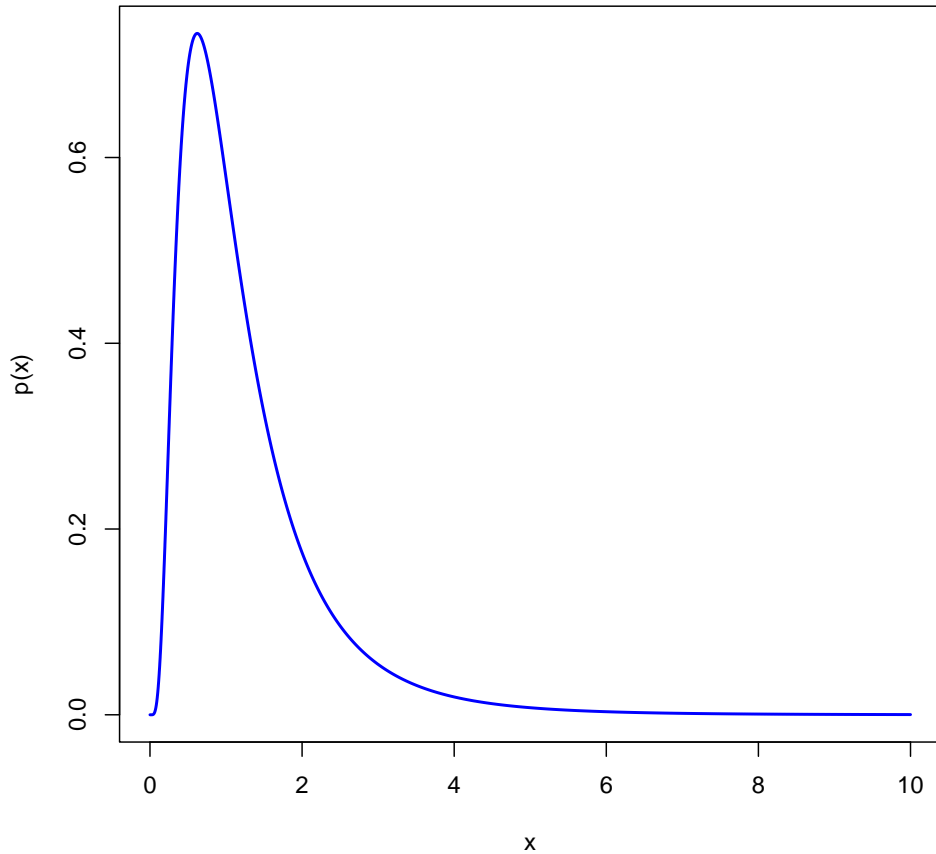


Рис. 2.2. Плотность логнормального с параметрами  $\mu = 0$ ,  $\sigma = 0.69$ .

2. Вычисляем значения  $\hat{F}^{-1}(\pi)$  для случайной величины  $\eta$  по формуле (2.8).

3. С помощью системы (1.2) находим значения весов  $p_1, p_2, p_3$ .

**Результат:** веса  $p_1, p_2, p_3$  для  $x_{\pi_1}, x_{\pi_2}, x_{\pi_3}$  случайной величины  $\tilde{\xi}$ .

**Замечание 2.** Результаты Алгоритмов 1 и 2 совпадают, так как веса для аппроксимации единственны.

## 2.4. Условие на параметр $\sigma$ для существования трехточечной аппроксимации логнормального распределения

Мы рассмотрели способы вычисления весов для квантилей при аппроксимации логнормального распределения. Но найденные веса являются вероятностями не при любом  $\sigma$ . Выясним, какое должно быть ограничение на этот параметр. Докажем следующее предложение.

**Предложение 5.** Неотрицательные вероятности  $p_1, p_2, p_3$  для аппроксимации логнормальной случайной величины  $\eta$  с квантилями вида  $x_\pi, x_{0.5}, x_{1-\pi}$  существуют только при условии

$$\exp(\sigma^2) + \exp(-\sigma^2) - \exp\left(-\frac{\sigma^2}{2}\right) (\exp(c\sigma) + \exp(-c\sigma)) \leq 0, \quad (2.9)$$

где  $c = \Phi^{-1}(\pi)$ .

*Доказательство.* Рассматриваем  $\ln(\eta) \sim N(\mu, \sigma^2)$  и случай симметричных квантилей  $\pi_1 = \pi, \pi_2 = 0.5, \pi_3 = 1 - \pi$ .

С помощью формулы (2.8) найдем  $\hat{F}^{-1}(\pi_i)$ , делаем следующие обозначения

$$\hat{F}^{-1}(\pi) = t_1, \quad \hat{F}^{-1}(0.5) = t_2, \quad \hat{F}^{-1}(1 - \pi) = t_3.$$

Теперь рассмотрим систему (1.2), запишем ее через  $t_1, t_2, t_3$  и выразим вероятности  $p_1, p_2, p_3$ . Имеем

$$p_2(t_2 - t_3) = p_1(t_3 - t_1) - t_3,$$

$$p_1(t_1^2 - t_3^2) + p_2(t_2^2 - t_3^2) = 1 - t_3^2.$$

Тогда получаем

$$p_1(t_1^2 - t_3^2) + (t_2 + t_3)(p_1(t_3 - t_1) - t_3) = 1 - t_3^2,$$

$$p_1(t_1 - t_3)(t_1 + t_3) = 1 + t_2 t_3.$$

В итоге вероятности записываются следующим образом

$$p_1 = \frac{1 + t_2 t_3}{(t_1 - t_3)(t_1 + t_3)}, \quad (2.10)$$

$$p_2 = \frac{p_1(t_3 - t_1) - t_3}{t_2 - t_3} = \frac{1 + t_1 t_3}{(t_2 - t_1)(t_2 + t_3)}, \quad (2.11)$$

$$p_3 = 1 - p_1 - p_2. \quad (2.12)$$

Все вероятности должны быть положительными, подставим в формулы для вероятностей значения переменных  $t_1, t_2, t_3$ , где  $\hat{F}^{-1}(\pi_i)$  ищутся по формуле (2.8). Вероятность  $p_1$  выражается как

$$p_1 = \frac{1 + \frac{\left(\exp\left(-\frac{\sigma^2}{2}\right) - 1\right) \left(\exp\left(-c\sigma - \frac{\sigma^2}{2}\right) - 1\right)}{\exp(\sigma^2) - 1}}{\frac{\exp\left(c\sigma - \frac{\sigma^2}{2}\right) - \exp\left(-c\sigma - \frac{\sigma^2}{2}\right)}{\sqrt{\exp(\sigma^2) - 1}} \frac{\exp\left(c\sigma - \frac{\sigma^2}{2}\right) - \exp\left(-\frac{\sigma^2}{2}\right)}{\sqrt{\exp(\sigma^2) - 1}}} =$$

$$= \frac{\exp(\sigma^2) + \exp(-c\sigma - \sigma^2) - \exp\left(-\frac{\sigma^2}{2}\right) - \exp\left(-c\sigma - \frac{\sigma^2}{2}\right)}{\exp(2c\sigma - \sigma^2) - \exp(c\sigma - \sigma^2) - \exp(-\sigma^2) + \exp(-c\sigma - \sigma^2)}.$$

Вероятность  $p_2$  выражается как

$$\begin{aligned} p_2 &= \frac{1 + \frac{\left(\exp\left(\sigma - \frac{\sigma^2}{2}\right) - 1\right)\left(\exp\left(-\sigma - \frac{\sigma^2}{2}\right) - 1\right)}{\exp(\sigma^2) - 1}}{\frac{\exp\left(-\frac{\sigma^2}{2}\right) - \exp\left(\sigma - \frac{\sigma^2}{2}\right)}{\sqrt{\exp(\sigma^2) - 1}} \frac{\exp\left(-\frac{\sigma^2}{2}\right) - \exp\left(-\sigma - \frac{\sigma^2}{2}\right)}{\sqrt{\exp(\sigma^2) - 1}}} = \\ &= \frac{\exp(\sigma^2) + \exp(-\sigma^2) - \exp\left(\sigma - \frac{\sigma^2}{2}\right) - \exp\left(-\sigma - \frac{\sigma^2}{2}\right)}{\exp(-\sigma^2) - \exp(-\sigma - \sigma^2) - \exp(\sigma - \sigma^2) + \exp(-\sigma^2)} = \\ &= \frac{\exp(\sigma^2) + \exp(-\sigma^2) - \exp\left(\frac{\sigma^2}{2}\right)(\exp(\sigma) + \exp(-\sigma))}{2\exp(-\sigma^2) - \exp(-\sigma^2)(\exp(-\sigma) + \exp(\sigma))}. \end{aligned}$$

Докажем, что вероятности  $p_1$  и  $p_3$  положительные при любом параметре  $\sigma$ . Сначала распишем знаменатель  $p_1$ :

$$\begin{aligned} &\exp(2c\sigma - \sigma^2) - \exp(c\sigma - \sigma^2) - \exp(-\sigma^2) + \exp(-c\sigma - \sigma^2) = \\ &= \exp(-\sigma^2)(\exp(2c\sigma) - \exp(c\sigma) - 1 + \exp(-c\sigma)) = \\ &= \exp(-\sigma^2)(\exp(2c\sigma) - 2\exp(c\sigma) + 1 + \exp(c\sigma) - 2 + \exp(-c\sigma)) = \\ &= \exp(-\sigma^2)\left((\exp(\sigma) - 1)^2 + \frac{(\exp(\sigma) - 1)^2}{\exp(\sigma)}\right) \geq 0. \end{aligned}$$

Теперь анализируем числитель  $p_1$ . Так как

$$\exp(\sigma^2) + \exp(-c\sigma - \sigma^2) \geq \exp\left(-\frac{\sigma^2}{2}\right) + \exp\left(-c\sigma - \frac{\sigma^2}{2}\right),$$

то числитель  $p_1$  тоже всегда неотрицательный. Рассмотрим знаменатель  $p_2$ . Имеем:

$$\begin{aligned} &2\exp(-\sigma^2) - \exp(-\sigma^2)(\exp(-\sigma) + \exp(\sigma)) = \\ &= \exp(-\sigma^2)(2 - \exp(-\sigma) - \exp(\sigma)) = \\ &= -\frac{\exp(-\sigma^2)(\exp(\sigma) - 1)^2}{\exp(\sigma)} \leq 0. \end{aligned}$$

Вероятность  $p_3$  выражается как

$$p_3 = 1 - \frac{1 + t_2 t_3}{(t_1 - t_3)(t_1 - t_2)} - \frac{1 + t_1 t_3}{(t_2 - t_1)(t_2 - t_3)}.$$

Выяснили, что  $(t_1 - t_3)(t_1 - t_2) \geq 0$ , а  $(t_2 - t_1)(t_2 - t_3) \leq 0$ , значит, знаменатель  $p_3$  всегда отрицательный. Осталось показать, что числитель  $p_3$  тоже всегда отрицательный. Для этого распишем его как

$$\begin{aligned}
& (t_1 - t_3)(t_1 - t_2)(t_2 - t_1)(t_2 - t_3) - (1 + t_2 t_3)(t_2 - t_1)(t_2 - t_3) - (1 + t_1 t_3)(t_1 - t_3)(t_1 - t_2) = \\
& = (t_1^2 - t_1 t_2 - t_1 t_3 + t_2 t_3)(t_2^2 - t_2 t_3 - t_1 t_2 + t_1 t_3) - \\
& - (1 + t_2 t_3)(t_2^2 - t_2 t_3 - t_1 t_2 + t_1 t_3) - (1 + t_1 t_3)(t_1^2 - t_1 t_2 - t_1 t_3 + t_2 t_3) = \\
& = 2t_1^2 t_2^2 - t_1^2 t_2 t_3 - t_1^3 t_2 + t_1^3 t_3 - t_1 t_2^3 + t_1 t_2 t_3^2 - t_1^2 t_3^2 + t_2^3 t_3 - t_2^2 t_3^2 - t_1 t_2^2 t_3 + t_1 t_2 t_3^3 - \\
& - t_2^2 + 2t_1 t_2 - t_1^2 - t_2^3 t_3 + t_2^2 t_3^2 + t_1 t_2^2 t_3 - 2t_1 t_2 t_3^2 - t_1^3 t_3 + t_1^2 t_2 t_3 = \\
& = (2t_1^2 t_2^2 - t_1^3 t_2 - t_1 t_2^3) - (t_2^2 - 2t_1 t_2 + t_1^2) = \\
& = -(t_1^{\frac{1}{2}} t_2^{\frac{3}{2}} - t_1^{\frac{3}{2}} t_2^{\frac{1}{2}})^2 - (t_1 - t_2)^2 \leq 0.
\end{aligned}$$

Из условия отрицательности числителя  $p_2$  получаем ограничение (2.9).  $\square$

**Предложение 6.** Пусть  $\Gamma(\pi) = \{\sigma : (2.9) \text{ true}\}$ . Тогда из  $\pi \leq \tilde{\pi}$  следует, что  $\Gamma(\pi) \supset \Gamma(\tilde{\pi})$ .

*Доказательство.* Имеем неравенство (2.9), рассмотрим  $\exp(\sigma) + \exp(-\sigma)$ . Эта сумма увеличивается при уменьшении  $\pi$  и фиксированной  $\sigma$ , так как увеличивается по модулю значение  $c = \Phi^{-1}(\pi)$ . Значит, вычитаемое

$$\exp\left(\frac{\sigma^2}{2}\right) (\exp(\sigma) + \exp(-\sigma))$$

становится все больше, и неравенство (2.9) выполняется для большего множества значений  $\sigma$ .  $\square$

Например, для  $\pi = 0.1$  получаем ограничение  $\sigma \leq 0.6913$ ,  $\sigma^2 \leq 0.4779$ . Посмотрим, какому коэффициенту асимметрии соответствует это значение  $\sigma$ . По формуле (2.3) находим  $\gamma_3 = 2.82778$ .

Рассмотрим  $\pi = 0.05$ , получаем ограничение  $\sigma \leq 1.04585$  и значение коэффициента асимметрии  $\gamma_3 = 7.02529$ .

Вычислим, при каком значении  $\pi$  получается ограничение  $\sigma \leq 1.5$ , имеем

$$\exp(1.5^2) + \exp(-1.5^2) - \exp\left(-\frac{1.5^2}{2}\right) (\exp(1.5c) + \exp(-1.5c)) = 0,$$

$$9.4877 + 0.1054 - 0.3247(\exp(1.5c) + \exp(-1.5c)) = 0,$$



$$(\exp(1.5c) + \exp(-1.5c)) = 29.5491,$$

$$(\exp(3c) - 29.5491 \exp(1.5c)) + 1 = 0,$$

$$\exp(1.5c) = 0.0678, \quad c = \frac{\ln(0.0678)}{1.5} = -1.794522,$$

$$\pi = \Phi(-1.794522) \approx 3.636\%.$$

## 2.5. Трехточечная несимметричная аппроксимация логнормального распределения

Рассмотрим трехточечную аппроксимацию логнормального распределения с несимметричными квантилями. Построим график зависимости верхней границы для  $\sigma$  от  $\pi$  для  $\pi_1 = 1 - \pi$ ,  $\pi_2 = 0.5$ ,  $\pi_3 = \pi$  и для  $\pi_1 = 0.1$ ,  $\pi_2 = 0.5$ ,  $\pi_3 = \pi$ . Эта граница находится из условия положительности  $p_2$ , посчитанного по формуле (2.11), где  $t_1$ ,  $t_2$ ,  $t_3$  найдены по формуле (2.8). График представлен на рисунке 2.3, видим, что  $0 \leq \sigma \leq 1.5$  при  $\pi = 0.98$ . До значения  $\sigma = 1.5$  быстрее доходит зеленая линия, то есть в случае  $\pi_1 = 0.1$ ,  $\pi_2 = 0.5$ ,  $\pi_3 = \pi$ . Получили, что введение несимметричности не помогло избавиться от ограничения на  $\sigma$ .

## 2.6. Точность неправильной аппроксимации на основе дискретной аппроксимации нормального распределения

Предлагаемые методы аппроксимации трехточечным дискретным распределением логнормального распределения не работают при  $\sigma \leq 0.6913$ . На практике часто используют правило 30-40-30 выведенное для аппроксимации нормального распределения, значения весов вычисляются с помощью системы (1.3). Посмотрим на точность правила 30-40-30, особенно это важно при  $\sigma \geq 0.6913$ .

**Предложение 7.** Пусть  $\pi_1 = \pi$ ,  $\pi_2 = 0.5$ ,  $\pi_3 = 1 - \pi$  и значения вероятностей аппроксимации равны  $p_1 = \delta/2$ ,  $p_2 = 1 - \delta$ ,  $p_3 = \delta/2$ , тогда

1. Относительная ошибка аппроксимации математического ожидания равна

$$\frac{m - \tilde{m}}{m} = \frac{\exp\left(\frac{\sigma^2}{2}\right) - \frac{1}{2c^2} \left( \exp(\sigma c) - 1 + \exp(-\sigma c) \right) + 1}{\exp\left(\frac{\sigma^2}{2}\right)},$$

где  $c = \Phi^{-1}(\pi)$ , и не зависит от параметра  $\mu$ .

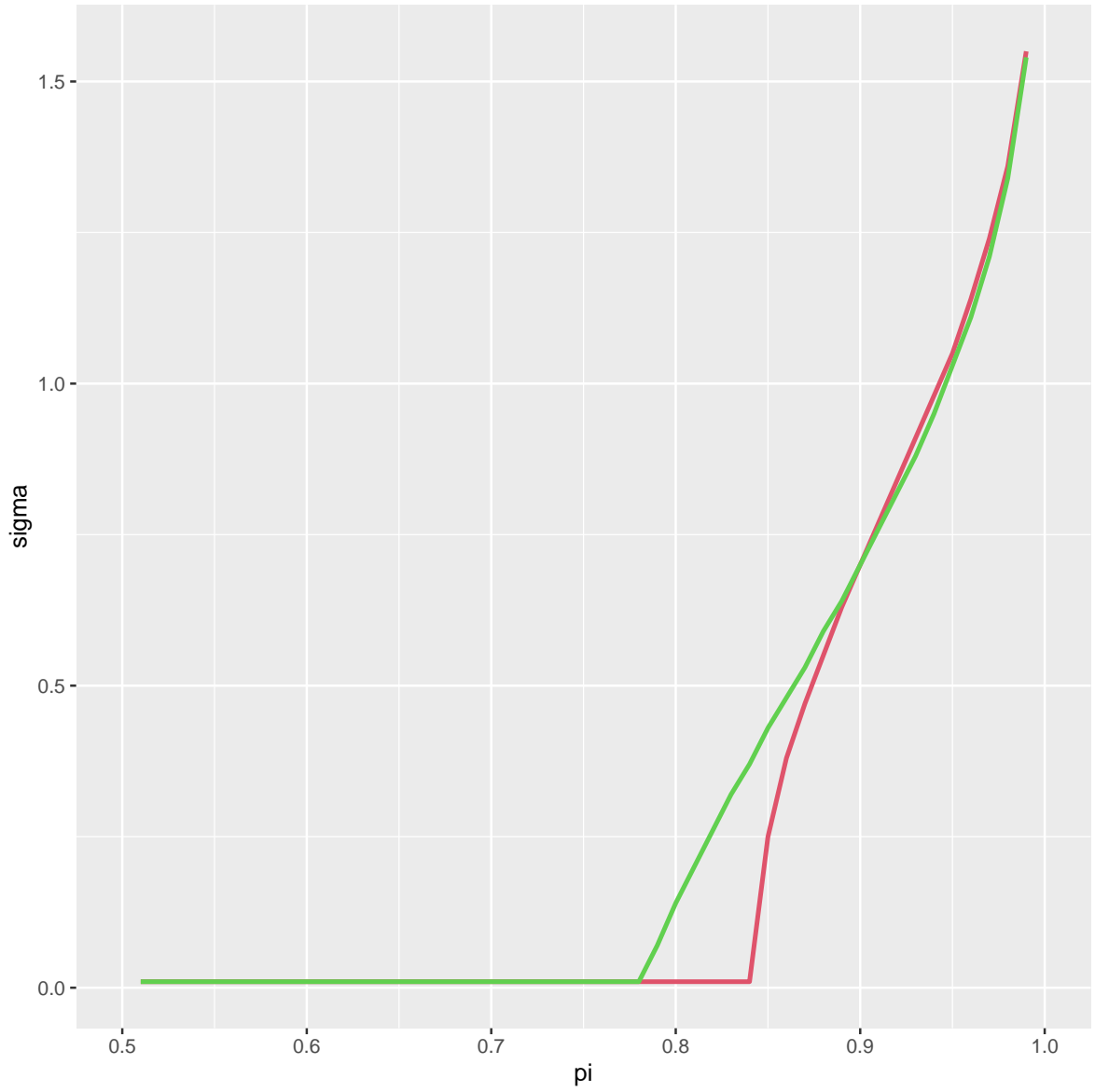


Рис. 2.3. Граница для  $\sigma$  при  $\pi_1 = 1 - \pi$ ,  $\pi_2 = 0.5$ ,  $\pi_3 = \pi$  (красный), при  $\pi_1 = 0.1$ ,  $\pi_2 = 0.5$ ,  $\pi_3 = \pi$  (зелёный).

2. Относительная ошибка аппроксимации дисперсии равна

$$\frac{s^2 - \tilde{s}^2}{s^2} = \frac{\exp(\sigma^2)(\exp(\sigma^2 - 1)) - \frac{1}{2c^2} \exp(-2c\sigma) - \left(1 - \frac{1}{c^2}\right) \exp(2c\sigma)}{\exp(\sigma^2)(\exp(\sigma^2 - 1))} +$$

$$+ \frac{\left(\frac{1}{2c^2}(\exp(c\sigma) - 1 + \exp(-c\sigma)) + 1\right)^2}{\exp(\sigma^2)(\exp(\sigma^2 - 1))},$$

где  $c = \Phi^{-1}(\pi)$ , и не зависит от параметра  $\mu$ .

*Доказательство.* 1. Выразим ошибку аппроксимации математического ожидания логнормального распределения через параметры  $\mu$  и  $\sigma$ , используя формулы (2.1) и (2.2).

Значения вероятностей  $p_1, p_2, p_3$  находятся из системы (1.3) Предложения 2. Тогда математическое ожидание аппроксимации равно

$$\begin{aligned}\tilde{m} &= \frac{1}{2c^2} \exp(\mu + c\sigma) + \left(1 - \frac{1}{c^2}\right) \exp(\mu) + \frac{1}{2c^2} \exp(\mu - c\sigma) = \\ &= \frac{1}{2c^2} \exp(\mu) (\exp(c\sigma) - 1 + \exp(-c\sigma)) + \exp(\mu).\end{aligned}$$

Получили ошибку

$$\begin{aligned}\frac{m - \tilde{m}}{m} &= \\ &= \frac{\exp\left(\mu + \frac{\sigma^2}{2}\right) - \frac{1}{2c^2} \exp(\mu) (\exp(c\sigma) - 1 + \exp(-c\sigma)) + \exp(\mu)}{\exp\left(\mu + \frac{\sigma^2}{2}\right)} = \\ &= \frac{\exp\left(\frac{\sigma^2}{2}\right) - \frac{1}{2c^2} (\exp(c\sigma) - 1 + \exp(-c\sigma)) + 1}{\exp\left(\frac{\sigma^2}{2}\right)}.\end{aligned}$$

2. Выразим ошибку аппроксимации дисперсии через параметры распределения.

$$\begin{aligned}s^2 &= \exp(2\mu + \sigma^2) (\exp(\sigma^2) - 1), \\ \tilde{s}^2 &= \frac{1}{2c^2} \exp(2\mu + 2c\sigma) + \left(1 - \frac{1}{c^2}\right) \exp(2\mu) + \frac{1}{2c^2} \exp(2\mu - 2c\sigma) - \tilde{m}^2.\end{aligned}$$

Получили ошибку

$$\begin{aligned}\frac{s^2 - \tilde{s}^2}{s^2} &= \frac{\exp(2\mu + \sigma^2) (\exp(\sigma^2) - 1) - \frac{1}{2c^2} \exp(2\mu + 2c\sigma) - \left(1 - \frac{1}{c^2}\right) \exp(2\mu)}{\exp(2\mu + \sigma^2) (\exp(\sigma^2) - 1)} - \\ &\quad - \frac{\frac{1}{2c^2} \exp(2\mu - 2c\sigma) - \tilde{m}^2}{\exp(2\mu + \sigma^2) (\exp(\sigma^2) - 1)} = \\ &= \frac{\exp(\sigma^2) (\exp(\sigma^2) - 1) - \frac{1}{2c^2} \exp(2c\sigma) - \left(1 - \frac{1}{c^2}\right) + \frac{1}{2c^2} \exp(2c\sigma) + \tilde{m}^2/2\mu}{\exp(\sigma^2) (\exp(\sigma^2) - 1)}.\end{aligned}$$

□

**Замечание 3.** При уменьшении значения  $\pi$  ошибки аппроксимации математического ожидания и дисперсии становятся меньше.

Построим график зависимости от  $\sigma$ . Видим, что при  $\sigma \leq 1.5$ , взятых из нашего диапазона, ошибка аппроксимации математического ожидания меньше 12%, а ошибка аппроксимации дисперсии может достигать 80%. Для  $\sigma \geq 0.69$ , когда условие (2.9) не выполнено, ошибка математического ожидания может быть как маленькой, так и очень большой. Ошибка дисперсии при этом точно больше 25%. Мои результаты согласуются со статьей [4], но там рассмотрены другие способы вычисления.

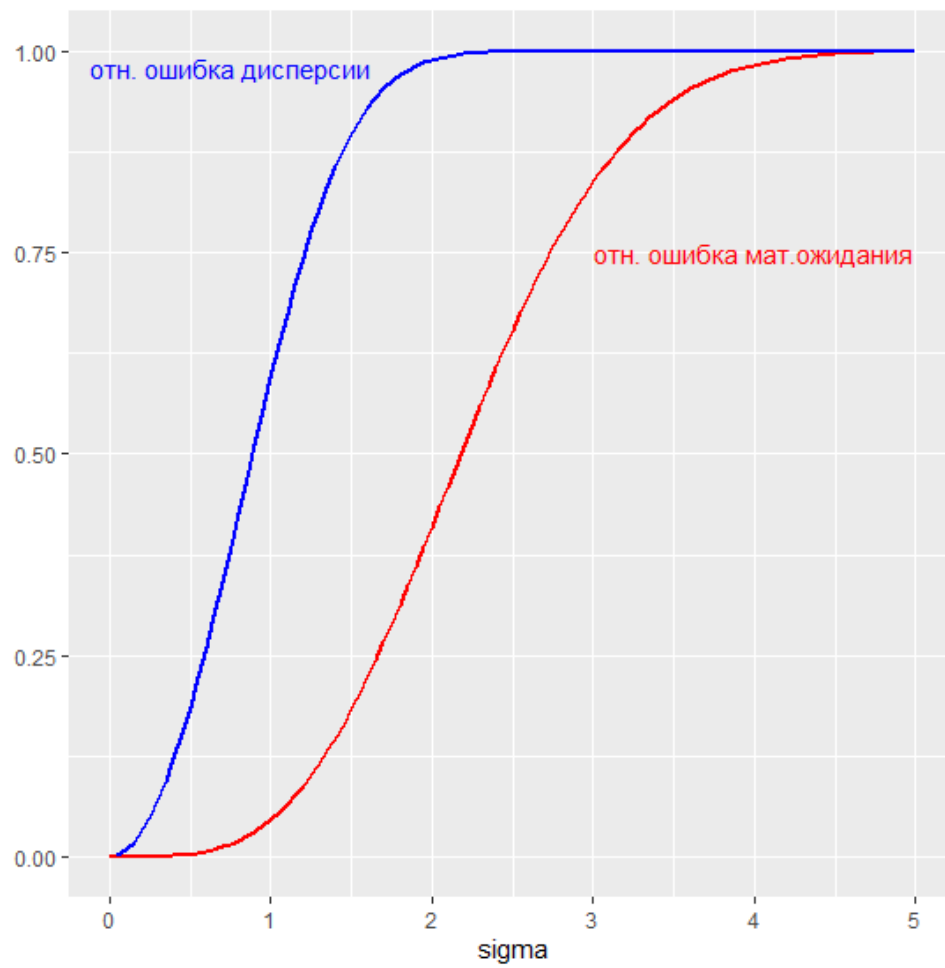


Рис. 2.4. Ошибка аппроксимации математического ожидания и дисперсии

## Глава 3

## Произведение двух логнормальных распределений

Рассмотрим произведение логнормально распределенных случайных величин. Эта процедура применяется в нефтяной промышленности, например, используем площадь дренирования пласта, среднюю чистую толщину и коэффициент извлечения углеводородов. При перемножении этих параметров получаем количество резервов нефти. В статье «Uncertainties impacting reserves, revenue, and costs» [2] содержатся идеи доказательств Предложений этого раздела, но полных доказательств нет.

Мы рассмотрим произведение двух логнормально распределенных случайных величин

$$\ln(\xi_1) \sim N(\mu_1, \sigma_1^2), \quad \ln(\xi_2) \sim N(\mu_2, \sigma_2^2).$$

Введем следующие обозначения:

$x_\pi, x_{0.5}, x_{1-\pi}$  — квантили случайной величины  $\xi_1$ ,

$y_\pi, y_{0.5}, y_{1-\pi}$  — квантили случайной величины  $\xi_2$ .

## 3.1. Произведение квантилей

**Предложение 8.** *Величина  $x_\pi y_\pi$  является  $q$ -квантилью случайной величины  $\xi_1 \xi_2$ , где*

$$q = P(\xi_1 \xi_2 < x_\pi y_\pi) = \Phi \left( \frac{\Phi^{-1}(\pi)(\ln(x_{0.5}) + \ln(y_{0.5}) - \ln(x_\pi) - \ln(y_\pi))}{\sqrt{(\ln(x_{0.5}) - \ln(x_\pi))^2 + (\ln(y_{0.5}) - \ln(y_\pi))^2}} \right). \quad (3.1)$$

*Доказательство.* Выразим параметры распределений  $\mu_1, \mu_2, \sigma_1, \sigma_2$  через квантили, используя формулу (2.7). Теперь рассмотрим случайную величину  $\eta = \xi_1 \xi_2$ . Мы хотим вычислить, каким квантилем для  $\eta$  является произведение квантилей  $x_\pi$  и  $y_\pi$ . Для этого надо найти, чему равна вероятность  $P(\xi_1 \xi_2 < x_\pi y_\pi)$ . Получаем

$$\begin{aligned} P(\xi_1 \xi_2 < x_\pi y_\pi) &= P(\ln(\xi_1) + \ln(\xi_2) < \ln(x_\pi) + \ln(y_\pi)) = \\ &= P \left( \frac{\ln(\xi_1) + \ln(\xi_2) - (\mu_1 + \mu_2)}{\sqrt{\sigma_1^2 + \sigma_2^2}} < \frac{\ln(x_\pi) + \ln(y_\pi) - (\mu_1 + \mu_2)}{\sqrt{\sigma_1^2 + \sigma_2^2}} \right). \end{aligned}$$

Так как  $\xi_1$  распределена логнормально с параметрами  $\mu_1$  и  $\sigma_1^2$ , а  $\xi_2$  распределена логнормально с параметрами  $\mu_2$  и  $\sigma_2^2$ , то

$$\ln(\xi_1) + \ln(\xi_2) \sim N(\mu_1 + \mu_2, \sigma_1^2 + \sigma_2^2),$$

$$\frac{\ln(\xi_1) + \ln(\xi_2) - (\mu_1 + \mu_2)}{\sqrt{\sigma_1^2 + \sigma_2^2}} \sim N(0, 1).$$

Тогда можно записать

$$\begin{aligned} & P(\xi_1 \xi_2 < x_\pi y_\pi) = \\ &= P\left(\frac{\ln(\xi_1) + \ln(\xi_2) - (\mu_1 + \mu_2)}{\sqrt{\sigma_1^2 + \sigma_2^2}} < \frac{(\mu_1 + \Phi^{-1}(\pi)\sigma_1) + (\mu_2 + \Phi^{-1}(\pi)\sigma_2) - (\mu_1 + \mu_2)}{\sqrt{\sigma_1^2 + \sigma_2^2}}\right) = \\ &= P\left(\frac{\ln(\xi_1) + \ln(\xi_2) - (\mu_1 + \mu_2)}{\sqrt{\sigma_1^2 + \sigma_2^2}} < \frac{\Phi^{-1}(\pi)(\sigma_1 + \sigma_2)}{\sqrt{\sigma_1^2 + \sigma_2^2}}\right) = \\ &= \Phi\left(\frac{\Phi^{-1}(\pi)(\sigma_1 + \sigma_2)}{\sqrt{\sigma_1^2 + \sigma_2^2}}\right). \end{aligned}$$

Перепишем эту дробь через значения квантилей, получаем

$$\begin{aligned} \frac{\Phi^{-1}(\pi)(\sigma_1 + \sigma_2)}{\sqrt{\sigma_1^2 + \sigma_2^2}} &= \frac{\Phi^{-1}(\pi) \left( \frac{(\ln(x_{0.5}) - \ln(x_\pi)) + (\ln(y_{0.5}) - \ln(y_\pi))}{-\Phi^{-1}(\pi)} \right)}{\sqrt{\frac{(\ln(x_{0.5}) - \ln(x_\pi))^2 + (\ln(y_{0.5}) - \ln(y_\pi))^2}{(\Phi^{-1}(\pi))^2}}} = \\ &= \frac{(\ln(x_{0.5}) - \ln(x_\pi)) + (\ln(y_{0.5}) - \ln(y_\pi))}{\sqrt{(\ln(x_{0.5}) - \ln(x_\pi))^2 + (\ln(y_{0.5}) - \ln(y_\pi))^2}} \cdot \Phi^{-1}(\pi). \end{aligned}$$

Тогда получаем следующую формулу

$$P(\xi_1 \xi_2 < x_\pi y_\pi) = \Phi\left(\frac{\Phi^{-1}(\pi)(\ln(x_{0.5}) + \ln(y_{0.5}) - \ln(x_\pi) - \ln(y_\pi))}{\sqrt{(\ln(x_{0.5}) - \ln(x_\pi))^2 + (\ln(y_{0.5}) - \ln(y_\pi))^2}}\right).$$

□

**Следствие 9.** При перемножение квантилей  $x_{0.5}$  и  $y_{0.5}$  получается снова 0.5-ый квантиль.

*Доказательство.* Запишем вероятность  $P(\xi_1 \xi_2 < x_{0.5} y_{0.5})$  следующим образом:

$$P(\xi_1 \xi_2 < x_{0.5} y_{0.5}) = \Phi\left(\frac{\ln(x_{0.5}) + \ln(y_{0.5}) - (\mu_1 + \mu_2)}{\sqrt{\sigma_1^2 + \sigma_2^2}}\right).$$

Но в числителе получается 0, значит,

$$P(\xi_1 \xi_2 < x_{0.5} y_{0.5}) = \Phi(0) = 0.5.$$

□

### 3.2. q-Квантили произведения логнормальных случайных

величин для  $q = \pi$ ,  $q = 0.5$ ,  $q = 1 - \pi$

Как по каким-то произвольным получившимся квантилям, полученным при перемножении данных квантилей для двух логнормальных случайных величин, найти нужные нам, такие же, как исходные  $\pi$ ,  $0.5$ ,  $1 - \pi$  квантили произведения этих двух случайных величин? Сначала нужно понять, на какой прямой лежат точки вида  $(x_\pi; \Phi^{-1}(\pi))$ .

Нужно выяснить, как связаны параметры нормального распределения, квантили которого откладываются по оси  $X$ , и параметры прямой, на которой лежат точки QQ-плота.

**Предложение 10.** Точки QQ-плота:  $\{x_i, F_\eta^{-1}(F_\xi(x_i))\}_{i=1}^n$ , где ось  $X: \xi \sim N(a, b^2)$ , ось  $Y: \eta \sim N(0, 1)$  лежат на прямой  $y = \frac{x - a}{b}$ .

*Доказательство.* Возьмем две точки и построим по ним уравнение прямой. Например, точки

$$(F_\xi^{-1}(0.1), F_\eta^{-1}(0.1)),$$

$$(F_\xi^{-1}(0.5), F_\eta^{-1}(0.5)).$$

Имеем

$$\Phi\left(\frac{x_p - a}{b}\right) = p \quad \Rightarrow \quad \frac{x_p - a}{b} = \Phi^{-1}(p).$$

Получаем, что

$$x_p = a + b\Phi^{-1}(p).$$

Для первой точки возьмем  $p = 0.1$ , тогда

$$(a + b\Phi^{-1}(0.1); \Phi^{-1}(0.1)).$$

Для второй точки возьмем  $p = 0.5$ , тогда

$$(a + b\Phi^{-1}(0.5); \Phi^{-1}(0.5)) \quad \Rightarrow \quad (a; 0).$$

Составим уравнение прямой:

$$\frac{x - a}{(a + \Phi^{-1}(0.1)b) - a} = \frac{y}{\Phi^{-1}(0.1)}, \quad \frac{x - a}{\Phi^{-1}(0.1)b} = \frac{y}{\Phi^{-1}(0.1)}.$$

Следовательно,

$$by = x - a,$$

Получили уравнение прямой на которой лежат точки данного QQ-плота:

$$y = \frac{x - a}{b}.$$

□

**Предложение 11.** Зная квантили  $x_\pi$ ,  $x_{0.5}$ ,  $x_{1-\pi}$  случайной величины  $\xi_1$  и квантили  $y_\pi$ ,  $y_{0.5}$ ,  $y_{1-\pi}$  случайной величины  $\xi_2$ , можно найти квантили  $z_\pi$ ,  $z_{0.5}$ ,  $z_{1-\pi}$  случайной величины  $\xi_1\xi_2$  как

$$z_\pi = \exp(b\Phi^{-1}(\pi) + a),$$

$$z_{0.5} = x_{0.5}y_{0.5},$$

$$z_{1-\pi} = \exp(b\Phi^{-1}(1 - \pi) + a),$$

где  $a$  и  $b$  такие, что прямая  $y = \frac{x - a}{b}$  проходит через точки  $(\ln(x_\pi y_\pi), t)$  и  $(\ln(x_{0.5}y_{0.5}), 0)$  при

$$t = \frac{\Phi^{-1}(\pi)((\ln(x_{0.5}) + \ln(y_{0.5})) - (\ln(x_\pi) + \ln(y_\pi)))}{\sqrt{(\ln(x_{0.5}) - \ln(x_\pi))^2 + (\ln(y_{0.5}) - \ln(y_\pi))^2}}.$$

*Доказательство.* С помощью формулы (3.1) можно посчитать, какой получается квантиль для случайной величины  $\xi_1\xi_2$ , если перемножить квантили  $x_\pi$  и  $y_\pi$  исходных случайных величин. Обозначим  $z_\pi$ ,  $z_{0.5}$ ,  $z_{1-\pi}$  — квантили случайной величины  $\eta$ . Тогда по Следствию 9 имеем  $x_{0.5}y_{0.5} = z_{0.5}$ .

Нужно вычислить значения  $z_\pi$  и  $z_{1-\pi}$ . Введем обозначение:

$$t = \frac{\Phi^{-1}(\pi)((\ln(x_{0.5}) + \ln(y_{0.5})) - (\ln(x_\pi) + \ln(y_\pi)))}{\sqrt{(\ln(x_{0.5}) - \ln(x_\pi))^2 + (\ln(y_{0.5}) - \ln(y_\pi))^2}}.$$

Тогда по Предложению 10 с помощью точек  $(\ln(x_\pi y_\pi), t)$  и  $(\ln(x_{0.5}y_{0.5}), 0)$  можно найти параметры  $a$  и  $b$  прямой, на которой они лежат.

$$\frac{\ln(x_{0.5}y_{0.5}) - a}{b} = 0 \quad \Rightarrow \quad a = \ln(x_{0.5}y_{0.5}),$$

$$\frac{\ln(x_\pi y_\pi) - a}{b} = t,$$

$$b = \frac{\ln(x_\pi y_\pi) - a}{t} = \frac{\ln(x_\pi y_\pi) - \ln(x_{0.5}y_{0.5})}{t}.$$

Так как точки  $(\ln(z_\pi), \Phi^{-1}(\pi))$  и  $(\ln(z_{1-\pi}), \Phi^{-1}(1 - \pi))$  тоже лежат на этой прямой, то мы можем вычислить значения  $\ln(z_\pi)$  и  $\ln(z_{0.5})$ , зная уравнение прямой, следующим образом:

$$\frac{\ln(z_\pi) - a}{b} = \Phi^{-1}(\pi), \quad \ln(z_\pi) = b\Phi^{-1}(\pi) + a,$$



$$\frac{\ln(z_{1-\pi}) - a}{b} = \Phi^{-1}(1 - \pi), \quad \ln(z_{1-\pi}) = b\Phi^{-1}(1 - \pi) + a.$$

И, наконец, находим  $z_\pi$  и  $z_{1-\pi}$ .

$$z_\pi = \exp(b\Phi^{-1}(\pi) + a),$$

$$z_{1-\pi} = \exp(b\Phi^{-1}(1 - \pi) + a).$$

□

По Алгоритму 1, используя найденные  $z_\pi$ ,  $z_{0.5}$ ,  $z_{1-\pi}$ , можно вычислить значения весов  $p_1$ ,  $p_2$ ,  $p_3$  дискретной аппроксимации.

## Глава 4

## Сумма двух логнормальных случайных величин

## 4.1. Алгоритм аппроксимации

Рассмотрим сумму двух логнормальных случайных величин:

$$\ln(\xi_1) \sim N(\mu_1, \sigma_1^2), \quad \ln(\xi_2) \sim N(\mu_2, \sigma_2^2),$$

$$\xi = \xi_1 + \xi_2.$$

Дано: квантили  $x_\pi, x_{0.5}, x_{1-\pi}$  случайной величины  $\xi_1$  и квантили  $y_\pi, y_{0.5}, y_{1-\pi}$  случайной величины  $\xi_2$ .

Поставим задачу аппроксимации суммы логнормальным распределением  $\ln(\eta) \sim N(\mu, \sigma^2)$ , так как нужно рассматривать сумму не обязательно двух, а произвольного числа случайных величин.

Нужно найти квантили  $z_\pi, z_{0.5}, z_{1-\pi}$  случайной величины  $\eta$ . По известным квантилям уже знаем, как вычислять вероятности  $p_1, p_2, p_3$  такие, что  $m = \tilde{m}$  и  $s^2 = \tilde{s}^2$ .

У нас есть следующие ограничения на параметры:  $\mu_1, \mu_2 < 12, \sigma_1, \sigma_2 < 1.5$ . Пусть мы нашли аппроксимацию суммы двух логнормальных величин, тогда с учетом этих ограничений её значения  $\mu$  и  $\sigma$  тоже будут иметь свои ограничения. При этом, чтобы найти значения вероятностей  $p_1, p_2, p_3$  нужно, чтобы выполнялось то же условие, что в разделе 2.4, а именно (2.9).

Имеем следующий алгоритм для решения задачи.

**Алгоритм 3.** Дано: Квантили  $x_\pi, x_{0.5}, x_{1-\pi}$  — квантили  $\xi_1$ ,  $y_\pi, y_{0.5}, y_{1-\pi}$  — квантили  $\xi_2$ .

1.  $x_\pi, x_{0.5}, x_{1-\pi} \rightarrow \mu_1, \sigma_1$

По набору квантилей  $\xi_1$  находим параметры  $\mu_1, \sigma_1$  нормального распределения по формулам (2.6) и (2.7).

2.  $y_\pi, y_{0.5}, y_{1-\pi} \rightarrow \mu_2, \sigma_2$

По набору квантилей  $\xi_2$  находим параметры  $\mu_2, \sigma_2$  нормального распределения по формулам (2.6) и (2.7).

3.  $\mu_i, \sigma_i \rightarrow m_i, s_i^2$

С помощью формул (2.1) и (2.2) находим математические ожидания и дисперсии  $\xi_1$  и  $\xi_2$ .

4.  $m = m_1 + m_2$

Вычисляем математическое ожидание  $\xi_1 + \xi_2$ .

5.  $s^2 = s_1^2 + s_2^2$

Вычисляем дисперсию  $\xi_1 + \xi_2$ .

6.  $m, s^2 \rightarrow \mu, \sigma$

С помощью формул (2.1) и (2.2) находим параметры нормального распределения.

7.  $\mu, \sigma \rightarrow z_\pi, z_{0.5}, z_{1-\pi}$

С помощью формулы (2.7) находим значения квантилей через  $\mu$  и  $\sigma$ .

8.  $z_\pi, z_{0.5}, z_{1-\pi} \rightarrow p_1, p_2, p_3$

По Алгоритму 1 находим значения вероятностей  $p_1, p_2, p_3$ .

**Результат:** вероятности  $p_1, p_2, p_3$  для квантилей  $z_{\pi_1}, z_{\pi_2}, z_{\pi_3}$  случайной величины  $\eta$ , которая является дискретной аппроксимацией аппроксимации суммы логнормальным распределением.

## 4.2. Точность аппроксимации

### 4.2.1. Ошибки аппроксимации квантилей

Выразим ошибки аппроксимации квантилей  $q_\pi, q_{0.5}, q_{1-\pi}$  случайной величины  $\xi$  через параметры  $\mu_1, \mu_2, \sigma_1^2, \sigma_2^2$ .

$$\frac{|q_\pi - z_\pi|}{q_\pi}, \quad \frac{|q_{0.5} - z_{0.5}|}{q_{0.5}}, \quad \frac{|q_{1-\pi} - z_{1-\pi}|}{q_{1-\pi}}.$$

$$z_\pi = F_\eta^{-1}(\pi), \quad z_{0.5} = \exp(\mu), \quad z_{1-\pi} = F_\eta^{-1}(1 - \pi),$$

$$F_\eta^{-1}(p) = \exp(\mu + \sigma\sqrt{2}\text{erf}^{-1}(2p - 1)).$$

Параметры  $\mu$ ,  $\sigma$  можно найти через параметры случайных величин  $\xi_1$ ,  $\xi_2$ , используя формулы (2.1), (2.3) и вычисленные значения

$$m = \exp\left(\mu_1 + \frac{\sigma_1^2}{2}\right) + \exp\left(\mu_2 + \frac{\sigma_2^2}{2}\right),$$

$$s^2 = m_1^2(\exp(\sigma_1^2) - 1) + m_2^2(\exp(\sigma_2^2) - 1).$$

Квантили  $\eta$  выражаются как

$$q_\pi = F_\xi^{-1}(\pi), \quad q_{0.5} = F_\xi^{-1}(0.5), \quad q_{1-\pi} = F_\xi^{-1}(1 - \pi),$$

$$F_\xi(x) = \int_0^x \left( \frac{1}{2} + \frac{1}{2} \operatorname{erf} \left( \frac{\ln(x-y) - \mu_1}{\sigma_1 \sqrt{2}} \right) \right) \left( \frac{1}{\sqrt{2\pi} y \sigma_2} \exp \left( - \left( \frac{\ln(y) - \mu_2}{\sqrt{2} \sigma_2} \right)^2 \right) \right) dy.$$

Здесь  $F_\xi(x)$  — функция распределения  $\xi = \xi_1 + \xi_2$ , найденная с помощью формулы свертки.

В таблицах 4.1, 4.2 и 4.3 представлены ошибки для  $\ln(\xi_1) \sim N(4, \sigma_1^2)$ ,  $\ln(\xi_2) \sim N(4, \sigma_2^2)$  при  $\pi = 0.1$ , полученные с помощью моделирования, объемы выборок равны  $10^6$ . По построению аппроксимации суммы двух логнормальных распределений логнормальным распределением ошибки математического ожидания и дисперсии равны 0, то есть  $m = \tilde{m}$  и  $s^2 = \tilde{s}^2$ . Но если для каких-либо расчетов понадобятся квантили  $\eta$ , то ошибка медианы может достигать 21%, ошибка квантиля  $q_{10}$  достигает 67%, ошибка квантиля  $q_{90}$  достигает 20%.

Таблица 4.1. Ошибка аппроксимации медианы (%) в зависимости от  $\sigma_1^2$  (строка) и  $\sigma_2^2$  (столбец) при  $\mu_1 = \mu_2 = 4$ .

	0.25	0.75	1.25	1.75	2.25
0.25	0.24	0.46	4.19	11.67	21.10
0.75	0.74	0.40	3.06	11.46	20.99
1.25	4.25	3.27	2.48	6.18	16.15
1.75	12.18	10.12	5.57	5.24	9.92
2.25	20.94	20.20	16.29	9.59	8.47

Построим графики зависимости ошибки аппроксимации квантилей от  $\sigma_2^2$  при фиксированной  $\sigma_1^2 = 0.75$ . При моделировании объемы выборок равны  $10^6$ . Они представлены на рисунках 4.1, 4.2 и 4.3.

Таблица 4.2. Ошибка аппроксимации  $q_{10}$  (%) в зависимости от  $\sigma_1^2$  (строка) и  $\sigma_2^2$  (столбец) при  $\mu_1 = \mu_2 = 4$ .

	<b>0.25</b>	<b>0.75</b>	<b>1.25</b>	<b>1.75</b>	<b>2.25</b>
<b>0.25</b>	0.72	12.75	33.79	52.58	66.98
<b>0.75</b>	12.30	3.81	15.13	35.85	53.91
<b>1.25</b>	33.42	14.81	10.81	22.58	40.49
<b>1.75</b>	52.84	35.57	19.95	18.15	27.68
<b>2.25</b>	66.40	53.63	41.42	26.75	24.57

Таблица 4.3. Ошибка аппроксимации  $q_{90}$  (%) в зависимости от  $\sigma_1^2$  (строка) и  $\sigma_2^2$  (столбец) при  $\mu_1 = \mu_2 = 4$ .

	<b>0.25</b>	<b>0.75</b>	<b>1.25</b>	<b>1.75</b>	<b>2.25</b>
<b>0.25</b>	0.16	5.03	13.69	17.74	19.37
<b>0.75</b>	5.63	1.89	5.77	10.70	16.03
<b>1.25</b>	13.55	5.75	2.52	6.00	9.79
<b>1.75</b>	19.95	11.88	5.77	3.50	4.89
<b>2.25</b>	18.47	15.44	9.42	5.50	5.27

#### 4.2.2. Соответствие квантилей

Теперь посчитаем значения функции  $F_\xi(x)$  от квантилей  $z_{10}$ ,  $z_{50}$ ,  $z_{90}$  случайной величины  $\eta$ . Они показывают, каким квантилем для  $\xi$  являются квантили  $z_i$ . Результаты приведены в таблицах 4.4, 4.5 и 4.6.

Таблица 4.4.  $F_\eta(z_{50})$  (%) в зависимости от  $\sigma_1^2$  (строка) и  $\sigma_2^2$  (столбец) при  $\mu_1 = \mu_2 = 4$ .

	<b>0.25</b>	<b>0.75</b>	<b>1.25</b>	<b>1.75</b>	<b>2.25</b>
<b>0.25</b>	50.10	49.87	46.96	42.18	36.95
<b>0.75</b>	49.87	49.82	48.30	44.55	39.74
<b>1.25</b>	46.96	48.30	49.00	47.19	43.31
<b>1.75</b>	42.18	44.55	47.19	47.91	46.03
<b>2.25</b>	36.95	39.74	43.31	46.03	46.73

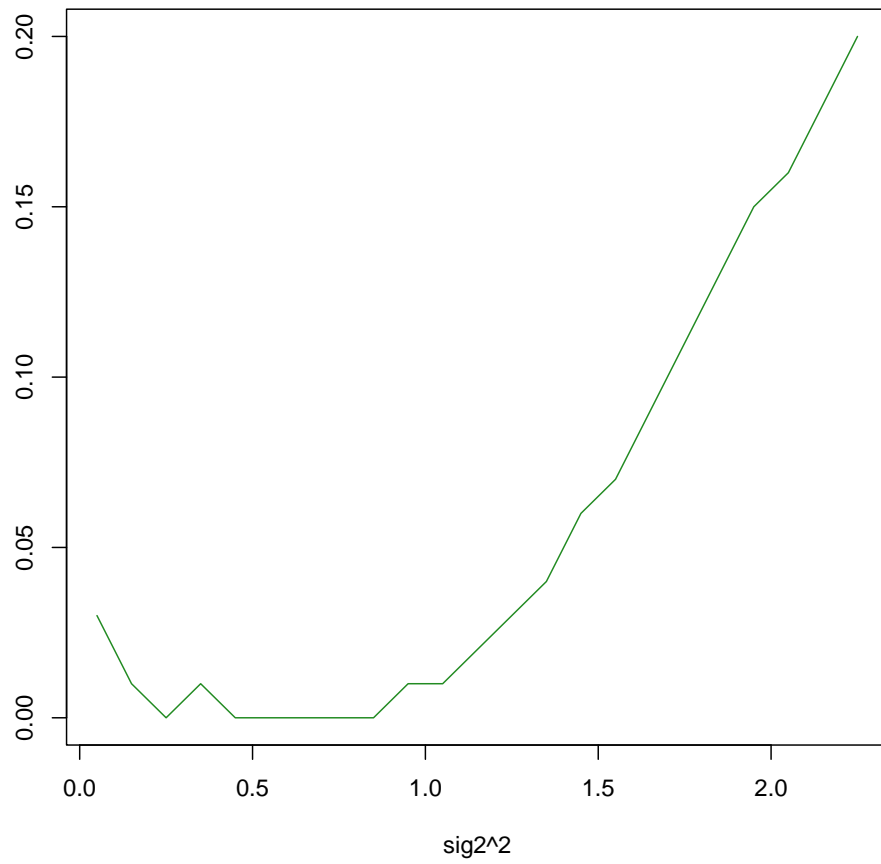


Рис. 4.1. Ошибка аппроксимации медианы при  $\sigma_1^2 = 0.75$ .

Таблица 4.5.  $F_\eta(z_{10})$  (%) в зависимости от  $\sigma_1^2$  (строка) и  $\sigma_2^2$  (столбец) при  $\mu_1 = \mu_2 = 4$ .

	0.25	0.75	1.25	1.75	2.25
0.25	9.79	5.84	1.82	0.32	0.04
0.75	5.84	8.89	6.45	3.14	1.19
1.25	1.82	6.45	7.85	6.00	3.35
1.75	0.32	3.14	6.00	6.89	5.43
2.25	0.04	1.19	3.35	5.43	6.08

#### 4.2.3. Оценки плотностей $\xi$ и $\eta$

Построим оценки плотности для  $\xi$  и  $\eta$ , когда ошибки имеют очень маленькие значения и когда достаточно большие. Они представлены на рисунках 4.4 и 4.5.

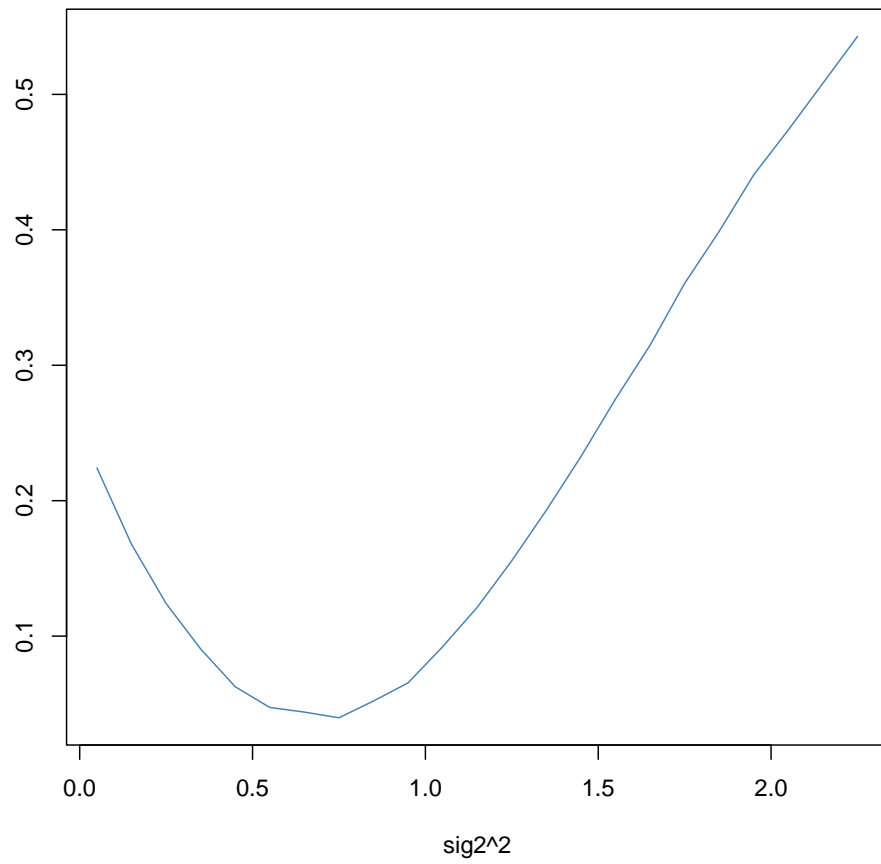


Рис. 4.2. Ошибка аппроксимации  $q_{10}$  при  $\sigma_1^2 = 0.75$ .

Таблица 4.6.  $F_\eta(z_{90})$  (%) в зависимости от  $\sigma_1^2$  (строка) и  $\sigma_2^2$  (столбец) при  $\mu_1 = \mu_2 = 4$ .

	0.25	0.75	1.25	1.75	2.25
0.25	90.08	91.47	92.31	92.42	92.19
0.75	91.47	90.38	91.11	91.83	92.02
1.25	92.31	91.11	90.57	90.93	91.31
1.75	92.42	91.83	90.93	90.62	90.75
2.25	92.19	92.02	91.31	90.75	90.56

#### 4.2.4. Коэффициент асимметрии и эксцесса

Посмотрим на таблицы 4.7 и 4.8 с коэффициентами асимметрии и эксцесса.

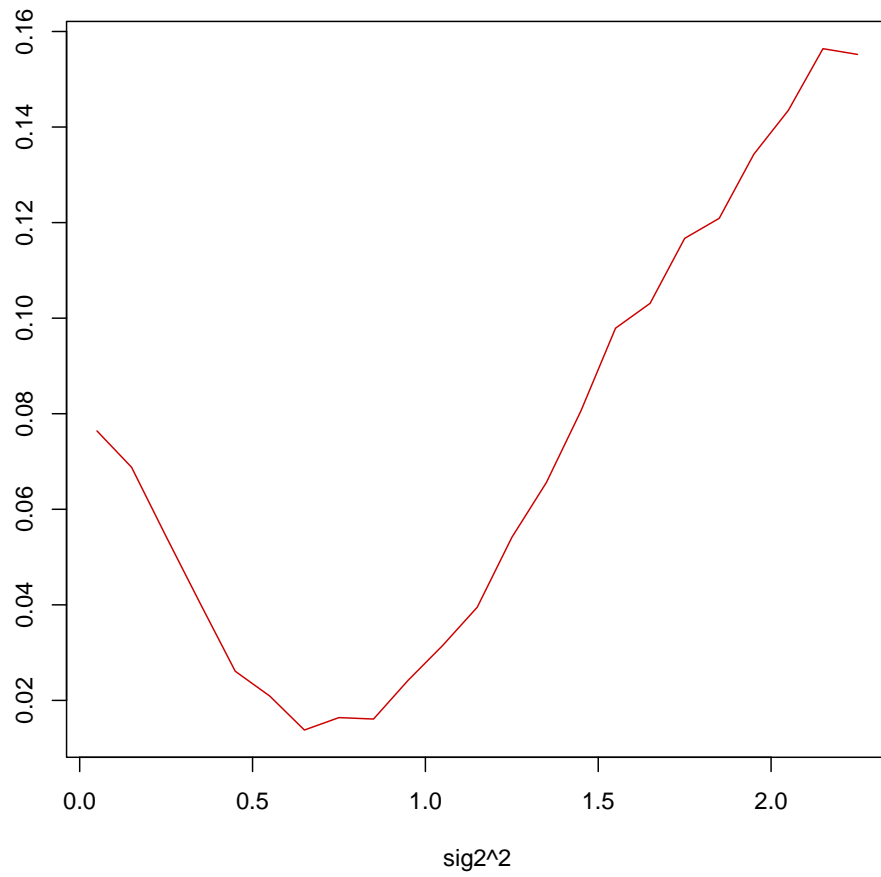


Рис. 4.3. Ошибка аппроксимации  $q_{90}$  при  $\sigma_1^2 = 0.75$ .

Таблица 4.7. Коэффициент асимметрии суммы (голубой) и аппроксимации (розовый) в зависимости от  $\sigma_1^2$  (строка) и  $\sigma_2^2$  (столбец) при  $\mu_1 = \mu_2 = 4$ .

	0.25	0.75	1.25	1.75	2.5
0.25	1.77	4.23	6.71	15.59	16.68
	1.53	3.75	7.48	14.76	29.70
0.75	1.66	3.86	7.39	11.43	54.43
	1.55	3.65	7.22	14.25	28.77
1.25	2.13	3.68	8.73	13.76	29.28
	1.71	3.60	6.97	13.68	27.66
1.75	5.88	4.06	7.50	31.50	24.89
	2.17	3.71	6.79	13.09	26.41
2.5	11.18	8.85	8.55	10.34	23.61
	3.30	4.29	6.90	12.66	25.13



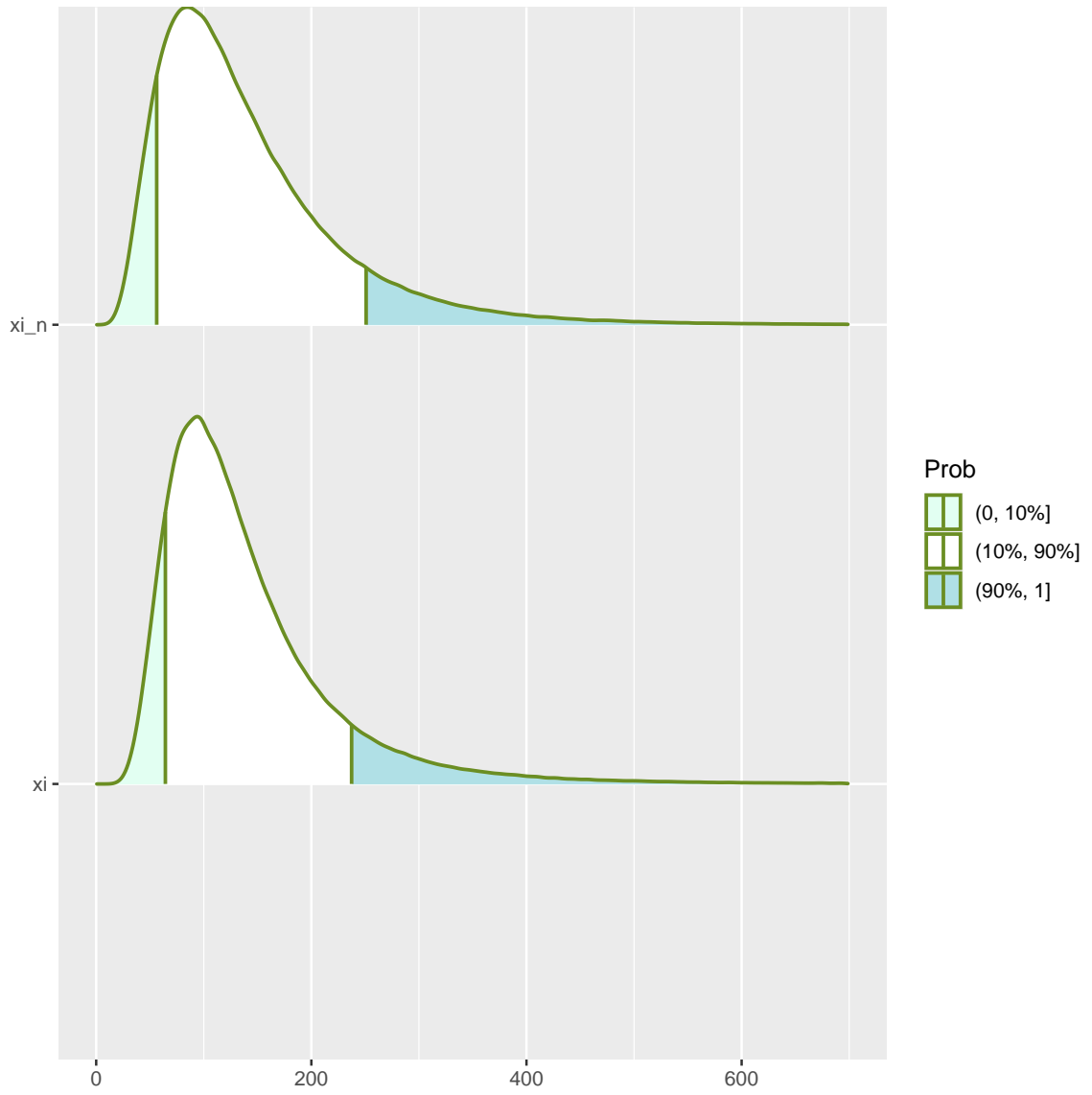


Рис. 4.4.  $\sigma_1^2 = 0.25$ ,  $\sigma_2^2 = 0.25$ ,  $err_{med} = 0.17\%$ ,  $err_{q_{10}} = 0.35\%$ ,  $err_{q_{90}} = 0.12\%$ .

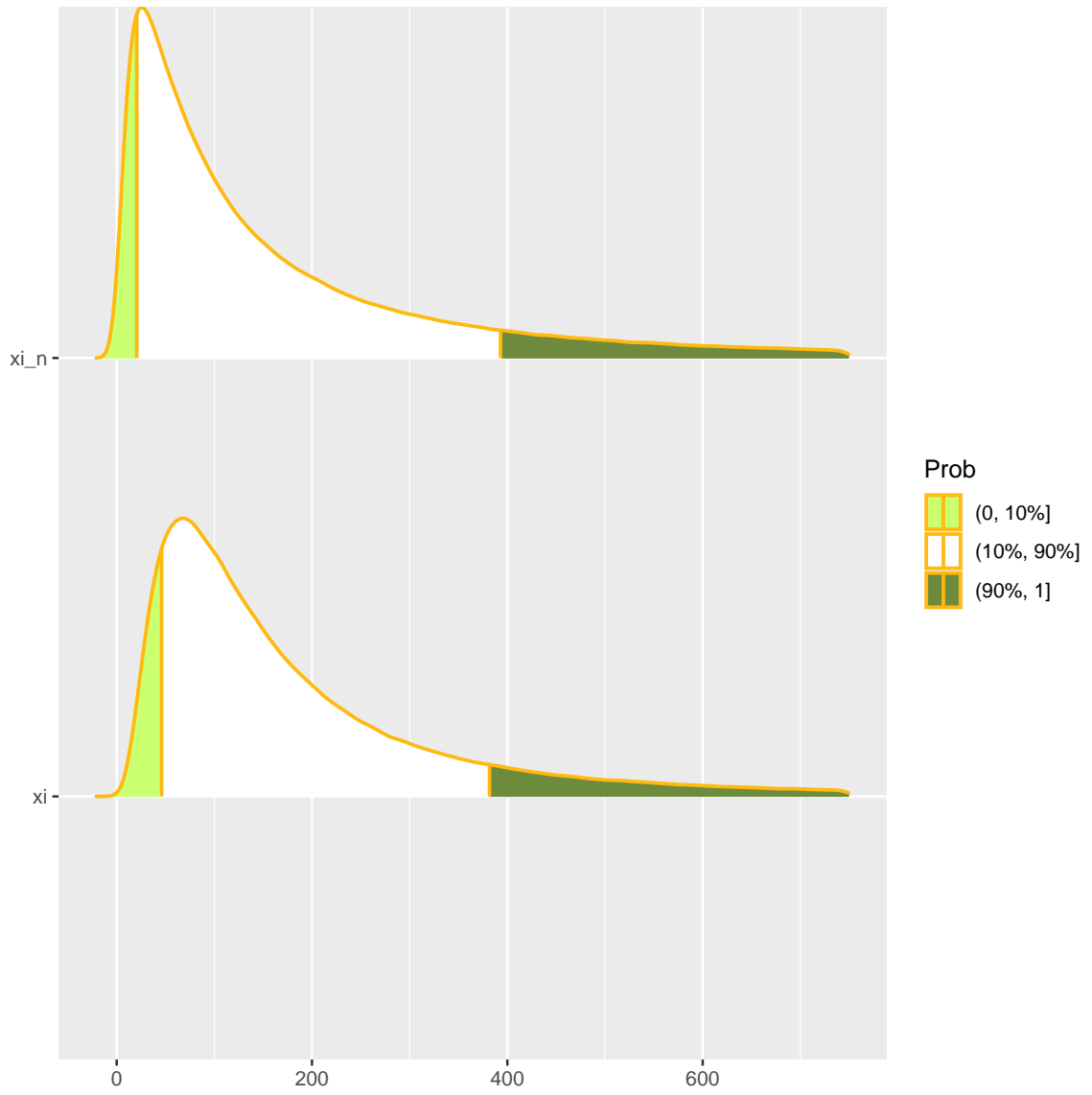


Рис. 4.5.  $\sigma_1^2 = 2.25$ ,  $\sigma_2^2 = 0.75$ ,  $err_{med} = 20.4\%$ ,  $err_{q_{10}} = 54.13\%$ ,  $err_{q_{90}} = 15.54\%$ .

Таблица 4.8. Коэффициент эксцесса суммы (голубой) и аппроксимации (розовый) в зависимости от  $\sigma_1^2$  (строка) и  $\sigma_2^2$  (столбец) при  $\mu_1 = \mu_2 = 4$ .

	0.25	0.75	1.25	1.75	2.5
0.25	6.54	51.70	227.68	408.58	734.47
	4.42	32.60	180.39	1088.57	7274.56
0.75	6.21	61.66	144.59	201.69	1304.88
	4.56	30.53	164.86	990.42	6666.16
1.25	11.47	27.75	179.22	193.95	546.57
	5.61	29.53	150.21	886.71	5989.44
1.75	122.65	46.01	110.03	276.24	14081.05
	9.44	31.88	140.69	788.78	5280.07
2.5	195.77	283.81	344.56	4837.85	1292.23
	24.08	44.88	146.68	720.26	4612.33

## Заключение

Таким образом, мною были получены следующие результаты.

Получено условие на  $\sigma$  для существования трехточечной симметричной аппроксимации логнормального распределения. Численно оценена точность аппроксимации математического ожидания и дисперсии логнормального распределения с помощью метода Свонсона, применяемого к нормальному распределению. Построен алгоритм для нахождения трехточечной симметричной аппроксимации суммы логнормальных распределений. Численно оценена точность трехточечной аппроксимации суммы логнормальных распределений. Все представленные в работе алгоритмы были реализованы на R [6].

Мы пришли к тому, что аппроксимировать логнормальное распределение трехточечным вероятностным распределением можно при ограниченных значениях параметра  $\sigma$ , достаточно маленьких. Остается вопрос, что делать при  $\sigma$ , не удовлетворяющих условию для существования трехточечной симметричной аппроксимации.

## Список литературы

1. Keith G. Swanson's Swansong.—Текст: электронный // stochastic: [сайт].—URL: <https://www.stochastic.dk/post/swanson-s-swansong> (дата обращения: 23.12.2021).
2. Uncertainties impacting reserves, revenue, and costs—Текст: электронный // AAPG Wiki: [сайт].—URL: [https://wiki.aapg.org/Uncertainties impacting reserves, revenue, and costs](https://wiki.aapg.org/Uncertainties_impacting_reserves_revenue_and_costs) (дата обращения: 27.05.2022).
3. Bickel, J. Eric, Lake, Larry W., and John Lehman. "Discretization, Simulation, and Swanson's (Inaccurate) Mean."SPE Econ Mgmt 3 (2011): 128–140. doi: <https://doi.org/10.2118/148542-PA>.
4. Bickel, J. Eric. "Discretization, Simulation, and the Value of Information."Paper presented at the SPE Annual Technical Conference and Exhibition, Denver, Colorado, USA, October 2011. doi: <https://doi.org/10.2118/145690-MS>.
5. Moghadasi, Maryam and Jerry L. Jensen. "Performance Evaluation of Swanson's Rule for the Case of Log-Normal Populations." (2014). DOI:10.1007/978-3-642-32408.
6. Нагуманова Карина (2023). Замена непрерывного распределения на дискретное. <https://doi.org/10.5281/zenodo.7963595>.